

Eingabe: Farbmetrisches Reflexions-System NCS11

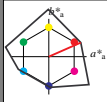
für Buntton $h^* = lab^*h = 24/360 = 0.066$

lab^*ch und lab^*nch

D65: Buntton R

LCH*Ma: 47 92 24

rgb*Ma: 1.0 0.0 0.0



NCS11; adaptierte CIELAB-Daten

	$L^* = L^*_a$	a^*_a	b^*_a	$C^*_{ab,a}$	$h^*_{ab,a}$
R _{Ma}	47.15	84.64	37.25	92.48	24
J _{Ma}	91.37	-1.27	125.03	125.03	91
G _{Ma}	63.07	-114.28	25.35	117.06	167
G _{50B} Ma	59.47	-80.6	-33.45	87.28	203
B _{Ma}	49.01	3.65	-81.19	81.28	273
B _{50R} Ma	44.06	106.09	-73.93	129.32	325
N _{Ma}	10.99	0.0	0.0	0.0	0
W _{Ma}	95.41	0.0	0.0	0.0	0
R _{CIE}	39.92	58.69	27.98	65.01	25
J _{CIE}	81.26	-2.9	71.56	71.62	92
G _{CIE}	52.23	-42.45	13.59	44.59	162
B _{CIE}	30.57	1.35	-46.48	46.51	272

Dreiecks-Helligkeit t^*

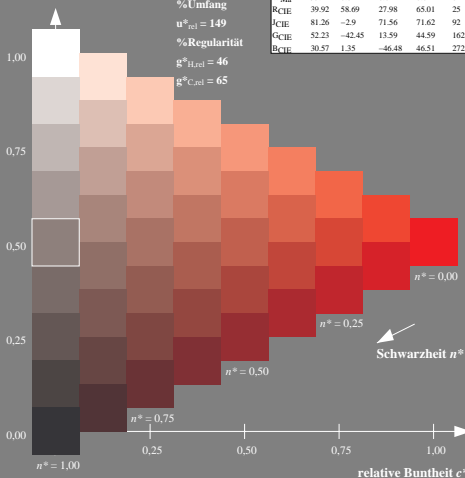
%Umfang

$u^*_{rel} = 149$

%Regularität

$g^*_{H,rel} = 46$

$g^*_{C,rel} = 65$



Ausgabe: Farbmetrisches Reflexions-System NCS11

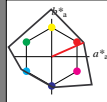
für Buntton $h^* = lab^*h = 24/360 = 0.066$

lab^*ch und lab^*nch

D65: Buntton R

LCH*Ma: 47 92 24

rgb*Ma: 1.0 0.0 0.0



NCS11; adaptierte CIELAB-Daten

	$L^* = L^*_a$	a^*_a	b^*_a	$C^*_{ab,a}$	$h^*_{ab,a}$
R _{Ma}	47.15	84.64	37.25	92.48	24
J _{Ma}	91.37	-1.27	125.03	125.03	91
G _{Ma}	63.07	-114.28	25.35	117.06	167
G _{50B} Ma	59.47	-80.6	-33.45	87.28	203
B _{Ma}	49.01	3.65	-81.19	81.28	273
B _{50R} Ma	44.06	106.09	-73.93	129.32	325
N _{Ma}	10.99	0.0	0.0	0.0	0
W _{Ma}	95.41	0.0	0.0	0.0	0
R _{CIE}	39.92	58.69	27.98	65.01	25
J _{CIE}	81.26	-2.9	71.56	71.62	92
G _{CIE}	52.23	-42.45	13.59	44.59	162
B _{CIE}	30.57	1.35	-46.48	46.51	272

Dreiecks-Helligkeit t^*

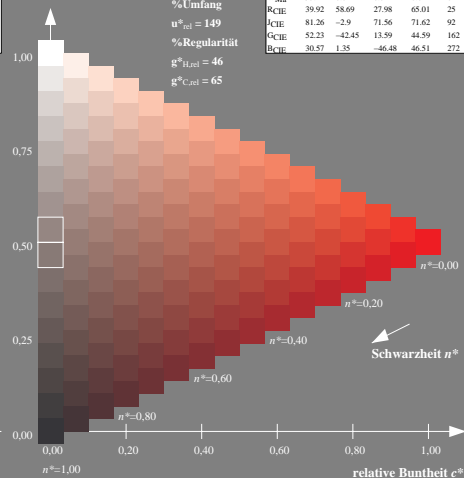
%Umfang

$u^*_{rel} = 149$

%Regularität

$g^*_{H,rel} = 46$

$g^*_{C,rel} = 65$



UG990-7, 9stufige Reihen für konstanten CIELAB Buntton 24/360 = 0.066 (links)

16stufige Reihen für konstanten CIELAB Buntton 24/360 = 0.066 (rechts)

BAM-Prüfvorlage UG99; Farbmetrik-Systeme NCS11a & NCS11input: cmy0* setcmykcolor

D65: 9 und 16stufige Farbreihen für 10 Bunttöne

output: no change compared to input